

اثرات تر و خشک شدن و سیستم‌های کشت بر ثبیت پتابسیم در برخی از خاک‌ها و رس‌های خوزستان

سیروس جعفری^۱ و مجید باقرنژاد^۲

چکیده

سیستم کشت تک محصولی نیشکر (*Saccharum officinarum* L.) و گیاهان زراعی دیگر بدون کاربرد کود پتابسیم سالیان زیادی است که در جنوب غربی ایران ادامه دارد. با وجود تخلیه مقدار زیادی از پتابسیم خاک توسط گیاهان زراعی، تاکنون پاسخی به مصرف کودهای پتابسیمی در این اراضی گزارش نشده است. آزمایشی با هدف بررسی اثر تر و خشک شدن خاک بر پتابسیم قابل جذب گیاه و نیز افزایش پتابسیم قابل جذب خاک پس از افزودن پتابسیم به خاک و رس‌های آن طراحی شد. نتایج نشان داد که برخلاف خاک‌ها باир، کانی‌های رسی قابل انبساط در خاک‌های کشت شده تشکیل شده است. عدم وجود این نوع کانی‌ها در اراضی کشت نشده بیانگر نوتشکیلی این رس‌ها در خاک‌های کشت شده در اثر کشت و آبیاری بود. ۳۰ بار تر و خشک کردن خاک نمونه‌های سطحی اراضی تحت کشت نیشکر، تناوبی و بایر در مجاورت پتابسیم، پتابسیم قابل جذب خاک را از ۱۳۳، ۲۲۶ و ۱۷۲ میلی‌گرم در کیلوگرم به ترتیب به ۲۶۶، ۴۴۷ و ۶۲۸ افزایش داد. این نتایج نشان داد که با وجود ثبیت زیاد پتابسیم در لایه سطحی خاک تحت کشت بهویژه نیشکر، مقدار پتابسیم قابل جذب این خاک‌ها زیاد شده است. ثبیت پتابسیم توسط لایه‌های عمقی خاک کمتر از لایه سطحی بود. هم‌چنین پس از افزودن پتابسیم به خاک، میزان ثبیت آن با افزایش دفعات تر و خشک کردن، روند نزولی داشت. ثبیت پتابسیم در خاک‌ها در راستای میزان تغییرات میزان‌ وزی خاک‌های مذکور و افزایش ظرفیت تبادل کاتیونی بود. برای رس‌های جداسازی شده از این خاک‌ها نیز ثبیت پتابسیم به بیشترین میزان در لایه سطحی رخ داد. اختلاف معنی‌داری از لحاظ مقدار ثبیت پتابسیم توسط رس‌های خاک‌های مذکور برای نوع کشت و عمق در سطح ۱٪ ملاحظه گردید. مقدار زیاد ثبیت پتابسیم به کانی‌های رسی ایلیت تخلیه شده از پتابسیم توسط کشت و کار نسبت داده شد به‌طوری که پس از قرار دادن این رس‌ها در مجاورت پتابسیم ثبیت آن، کانی‌های شبیه میکایی در این رس‌ها تشکیل شده بود.

واژه‌های کلیدی: پتابسیم، ثبیت، نیشکر، رس، ظرفیت تبادل کاتیونی

مقدمه

آن پرداخته‌اند. خشک شدن کانی میکا هم زمان که سبب آزاد

شدن پتابسیم بین لایه‌ای کانی می‌شود، می‌تواند باعث

ثبت پتابسیم فرایند نسبتاً پیچیده‌ای است که محققین بسیاری به

۱. استادیار خاک‌شناسی، دانشکده کشاورزی، دانشگاه کرمانشاه و در حال حاضر استادیار دانشگاه کشاورزی و منابع طبیعی رامین، خوزستان

۲. دانشیار خاک‌شناسی، دانشکده کشاورزی، دانشگاه شیراز

مشاهده نمود (۱۴). در حالی که در خاک دیگری با همان کانی‌ها و درجه اشباع کمتر پتاسیم، ۷۰-۸۰ درصد از پتاسیم اضافه شده توسط خاک ثبیت شد.

رفاهی در بررسی ظرفیت ثبیت پتاسیم خاک‌های اسیدی و آهکی ایران با تر و خشک کردن، افزایشی را در ظرفیت ثبیت پتاسیم با افزایش غلظت پتاسیم تا حد معینی گزارش نمود (۷). حسین پور و کلباسی در بررسی ظرفیت ثبیت و آزادسازی پتاسیم در رس‌های فیلوسیلیکات خاک‌های مناطق مرکزی و شمال ایران گزارش کردند که پتاسیم ثبیت شده خاک با افزایش غلظت پتاسیم به کار رفته افزایش یافت (۴). آنان میانگین ثبیت پتاسیم رس‌های مورد مطالعه را بین ۵/۴۲ تا ۱۴/۶۷ سانتی مول در کیلوگرم گزارش کردند. آنان هم‌چنین نشان دادند که ثبیت پتاسیم با گنجایش تبادل کاتیونی کل رس هم‌بستگی معنی‌داری دارد. باید و همکاران در بررسی ظرفیت ثبیت برخی از خاک‌های مراکش گزارش کردند که ثبیت پتاسیم توسط رس‌ها هم‌بستگی معنی‌داری با گنجایش تبادل کاتیونی کل رس‌ها دارد. یعنی این‌که خاک‌های با CEC بیشتر مقدار بیشتری K^+ را ثبیت می‌کنند (۱۰).

کشت مداوم نیشکر در هفت‌تپه در طی بیش از ۴۰ سال (با متوسط عملکرد ۱۰۰ تن ساقه قابل آسیاب در هکتار) بدون کاربرد کود پتاسه، سبب تخلیه بخشی از پتاسیم این خاک‌ها شده است. در طول این مدت به علت عدم کاربرد کودهای پتاسیم‌دار و یا کودهای حیوانی به خاک (۳) و هم‌چنین مقدار کم پتاسیم محلول در آب آبیاری و یا مواد جامد معلق آن، جایگزینی کمی برای پتاسیم تخلیه شده خاک رخ داده است. بخشی از این پتاسیم جذب شده توسط گیاه از بخش ذخیره خاک (پتاسیم ثبیت شده) تأمین شده است (۵). برداشت ساقه‌های قابل آسیاب نیشکر سبب تخلیه بخش اعظم پتاسیم جذب شده توسط گیاه در طول دوره رشد سالیانه از خاک می‌شود. نیشکر حدود ۱۸۰ کیلوگرم در هکتار پتاسیم در سال به ازاء ۱۰۰ تن ساقه قابل آسیاب نیشکر را از خاک خارج می‌کند (۲۱ و ۲۲). از سوی دیگر علی‌رغم نیاز شدید نیشکر به

ثبت پتاسیم در بین لایه‌های کانی نیز گردد. ثبیت و یا آزادسازی پتاسیم به غلظت پتاسیم در محلول خاک بستگی دارد (۳۵). ثبیت پتاسیم از طریق دو مکانیزم عمده صورت می‌گیرد: در مکانیسم اول پتاسیم در فضای شش ضلعی بین لایه‌های چهاروجهی (Tetrahedral) کانی‌های ۱:۲ قرار می‌گیرد. این نوع ثبیت پتاسیم سبب تشکیل کانی‌های شبه میکا (Mica-like) در رس‌های ایلیت تخلیه شده می‌شود (۹). دومین مکانیزم ثبیت از طریق تشکیل ترکیبات غیر محلول پتاسیم به خصوص آلومینوسیلیکات‌ها می‌باشد. در pH های بالا (قایلایی) تشکیل این ترکیبات تسريع می‌شود (۹). عوامل مؤثر بر ثبیت پتاسیم توسط کانی‌ها عبارت‌اند از نوع کاتیون‌های اشباعی و سیکل‌های تر و خشک شدن. رس‌های اشباع از Mg^{2+} , Ca^{2+} , Na^+ و K^+ ظرفیت بیشتری برای ثبیت یون‌های اشباع شده H^+ , NH_4^+ و K^+ را دارند. افزایش برخی از کودهای معدنی و آلی سبب کاهش ثبیت پتاسیم در خاک‌های سطحی می‌شود (۱۴). اولک و کاسمن گزارش کردند که اضافه کردن اسیدهای هیومیک محلول در خاک‌های ورمی کولیتی، ظرفیت ثبیت پتاسیم خاک را کاهش و میزان پتاسیم قابل تبادل خاک را افزایش می‌دهد (۳۱). چهار ساعت پس از افزایش اسید هیومیک محلول، پتاسیم تبادلی و قابل عصاره‌گیری افزایش یافت. این امر به واکنش تبادلی سریع ترکیبات آلی و پتاسیم نسبت داده شد نه به تخریب و تجزیه کانی‌ها. این محققین نتیجه‌گیری کردند که در خاک‌های جوان غنی از مواد آلی از جمله اسید هیومیک محلول، که ظرفیت ثبیت پتاسیم بالقوه بالای نیز داشته باشند، مواد آلی نقش مهمی در قابلیت دسترسی پتاسیم برای گیاه دارد (۳۱). در اراضی تحت کشت، کاربرد کودهای پتاسیمی علاوه بر تامین نیاز گیاه، سبب دوام و پایداری برخی از کانی‌های رسی نیز می‌شود (۱۴).

قریشی با افزودن ۴۰۰ کیلوگرم پتاسیم در هکتار (معادل ۵/۱۲ میلی اکی) والان پتاسیم در کیلوگرم) به خاک رسی سیلیتی حاوی کانی‌های ایلیت و ورمی کولیت اشباع از پتاسیم با سابقه کشت طولانی، تنها ۴۰ تا ۲۰ درصد ثبیت پتاسیم اضافه شده را

تصادفی و از اعمق ذکر شده برای کشت‌های مختلف برداشته شد. نمونه‌های خاک به آزمایشگاه منتقل و پس از هوا خشک شدن، آسیاب و از الک ۲ میلی‌متری عبور داده شدند. سپس نمونه‌های هر سیستم کشت و هر عمق به وزن مساوی به هم اضافه و نمونه مخلوط مورد نظر برای هر نوع کشت و هر عمق تهیه شد. سپس تجزیه‌های زیر انجام گرفت:

شناسایی کانی‌های رسی به روش پراش اشعه ایکس برای شناسایی کانی‌های رسی از روش جکسون(۱۷) و کیتریک و هوپ(۱۸) استفاده شد. در ابتدا نمک‌های محلول، کربنات‌ها، ماده آلی، اکسیدهای آهن آزاد حذف شده(۲۳) و سپس ذرات رس جداسازی شد(۱۲). پس از جداسازی ذرات رس، پلاک‌های بدون تیمار، اشباع با منیزیم، پتابسیم، منیزیم و اتیلن گلیکول، پتابسیم حرارت داده شده در ۵۵° درجه سانتی‌گراد تهیه شدند. دیفرکتوگرام‌ها به کمک دستگاه اشعه ایکس مدل Philips PW 1840 با تابش Cukα با انرژی ۴۰ kV و ۳۰ mA تهیه شد. فواصل اسکن ۰/۰۴۰ و سرعت اسکن ۱۰۲۰ در ثانیه بود. نتایج حاصله به روش گریم(۱۵) و لی و همکاران(۱۹) تفسیر شد.

بررسی پتانسیل جذب و رها سازی پتابسیم توسط خاک با تر و خشک کردن

برای شبیه سازی آزاد شدن پتابسیم از خاک بر اثر فرایندتر و خشک شدن(شبیه سازی اثر آبیاری) نمونه‌های خاک از کشت‌های مختلف از سه عمق ذکر شده در نمونه‌برداری فوق، ۴۰ بار در کاسه‌های پلاستیکی تا حد اشباع تر و سپس با قرار دادن در دمای محیط خشک شدند (بدون حضور پتابسیم). از تفاصل میزان پتابسیم قابل جذب قبل از تر و خشک کردن و بعد از آن، پتابسیم قابل جذب تعیین شد (این دفعات تر و خشک شدن معادل حداقل دو سال تر و خشک شدن بر اثر آبیاری خاک فرض شده است). در این آزمایش به دلیل سنگینی بافت خاک تلفات آبشویی پتابسیم بسیار ناچیز فرض شد(۱ و ۲۹).

پتابسیم، در طی این دوره طولانی کشت نیشکر در این اراضی هنوز واکنشی به مصرف کودهای پتابسیم در این اراضی گزارش نشده است (۶ و ۲). عدم واکنش نیشکر و سایر گیاهان زراعی به مصرف کودهای پتابسیم دار در اراضی خوزستان در سال‌های اخیر نکته مبهمنی است که به نظر برخی از پژوهشگران به ثبیت کامل پتابسیم افزوده شده توسط خاک و عدم امکان استفاده گیاه از پتابسیم کودی مربوط می‌شود (۳ و ۸). بررسی مقدار پتابسیم ثبیت شده توسط خاک و کانی‌های رسی جدا شده از این خاک‌ها در ارتباط با نوع و مقدار کانی‌های موجود، می‌تواند در پیش‌بینی، توجیه و درک رفتارهای خاک در رابطه با پتابسیم و واکنش گیاه مفید واقع شود. بنابراین هدف از این مطالعه بررسی آزادسازی و ثبیت پتابسیم توسط خاک و کانی‌های رسی موجود در آنها در اعماق مختلف خاک‌های تحت کشت‌های نیشکر، تناوبی و بایر می‌باشد.

مواد و روش‌ها

منطقه مورد مطالعه بخشی از دشت خوزستان می‌باشد که از لحاظ فیزیوگرافی دشت آبرفتی قدیمی (Old flood plain) محسوب می‌شود. این منطقه بین روذخانه‌های شاور و دز، در ۱۰۰ کیلومتری شمال شهر اهواز واقع شده است (۲۱° ۴۸' و ۸۲° ۵۴' عرض شمالی). ارتفاع آن از سطح دریا ۴۲ متر می‌باشد. نمونه‌های مربوط به خاک بایر نیز از اراضی مجاور همین مزارع تحت کشت نیشکر که در طی این سال‌ها به صورت دست نخورده باقی‌مانده‌اند برداشته شد. برای سیستم کشت تناوبی نیز از اراضی مجاور این کشت و صنعت که در آن گیاهانی مثل گندم، جو، صیفی‌ها طی بیش از صد سال کشت شده نمونه‌برداری شد. در کشت و صنعت نیشکر هفت تپه از مزارع شماره ۱۰۱، ۱۰۳، ۱۰۴ که سابقه کشت طولانی تر نیشکر را دارند، نمونه خاک جمع آوری شد. نمونه‌ها از اعماق ۵-۴۰ و ۸۰ > سانتی‌متری خاک به کمک متنه دستی (Auger) برداشته شد. حداقل ۴۰ نمونه از نقاط مختلف مزرعه به صورت

۹۰ میلی مولار پتاسیم به این رس‌ها به‌طور جداگانه اضافه و برای ۱۶ ساعت توسط تکان دهنده رفت و برگشتی تکان داده شد. سپس با افزایش ۱۰ میلی لیتر استات منیزیم ۰/۵ مولار طی سه مرحله عصاره‌گیری شد. در هر مرحله عصاره‌گیری، ابتدا نمونه‌ها توسط تکان دهنده کاملاً بهم شده و سپس با سانتریفوژ کردن بخش رویی جمع آوری شده و به روش شعله سنگی میزان پتاسیم موجود در محلول اندازه‌گیری شد. اختلاف پتاسیم افزوده شده و عصاره‌گیری شده به پتاسیم ثابت شده توسط رس‌ها در حالت تر (K fixed wet) نسبت داده شد (۱۰). در حالت خشک نیز مطابق روش بالا عمل شد، با این تفاوت که پس از افزودن پتاسیم به رس‌ها، نمونه در دمای ۷۰ درجه سانتی‌گراد خشک شده و پس از ۲۴ ساعت، پتاسیم تبادلی با استات منیزیم عصاره‌گیری شد (۱۰). اختلاف پتاسیم اضافه شده و عصاره‌گیری شده معادل پتاسیم ثابت شده در حالت خشک (K fixed dry) در نظر گرفته شد. هر آزمایش با سه تکرار برای نمونه‌های مختلف (اعماق و تیمارهای مختلف کشت شده و نشده) تکرار گردید. سپس نمونه‌هایی از رس‌های مذکور پس از تیمار اشباع سازی فوق برای بررسی احتمالی ساختار کانی‌ها با روش XRD تهیه شده و پیک‌های حاصله بررسی شدند.

نتایج حاصله به صورت کرت‌های خرد شده در قالب بلوک‌های کامل تصادفی به کمک نرم افزار آماری SAS آنالیز گردید (۳۴). در این طرح عامل اصلی نوع کشت (A) و عامل فرعی عمق نمونه برداری (B) در نظر گرفته شد.

نتایج و بحث

خاک‌های مورد مطالعه منطقه هفت تپه (Fine, carbonatic, hyperthermic, Calcic Haplustepts) سری شوش بوده که بافت خاک سطح اراضی آنها سنگین می‌باشد (۳۶). برخی از ویژگی‌های فیزیکو‌شیمیایی این خاک‌ها در جدول ۱ نشان داده شده است. اطلاعات بیشتر در مطالعات جعفری و همکاران (۵) آمده است.

هم‌چنین در آزمایش دیگری به نمونه‌های ۴۰ گرمی خاک درون ظروف پلاستیکی، ۴۰ میلی‌گرم از محلول ۱۰۰۰ میلی‌گرم در لیتر کلرور پتاسیم (۲۵/۷ مولار) افزوده شد. دلیل استفاده از این غلظت زیاد، بیش بینی امکان ثابت پتاسیم به مقدار زیاد توسط نمونه‌های تحت کشت بهویژه نیشکر توسط پژوهشگران دیگر بود (۸). سپس نمونه‌های خاک در سه سری و برای هر سری ۱۰ بار، در دمای محیط تر و خشک شدند (جمعاً ۳۰ بار)، که فقط آب مقطر به آنها اضافه شد. پس از هر ۱۰ بار تر و خشک کردن خاک، پتاسیم تبادلی و محلول در نمونه مورد آزمایش و شاهد اندازه‌گیری و تغییرات پتاسیم افزوده شده به صورت زیر محاسبه شد (۵):

$$K_f = (K_e + K_a) - K_t$$

K_f مقدار پتاسیم ثابت شده

K_a مقدار پتاسیم افزوده شده

K_t مقدار پتاسیم قابل استخراج در نمونه اولیه خاک

K_e مقدار پتاسیم قابل استخراج نمونه همراه با پتاسیم اضافه شده توضیح این که نمونه‌های شاهد تنها با آب مقطر تر و خشک شده و این امر به منظور حذف اثر تر و خشک کردن خاک به تنها بروی ثابت یا آزادسازی پتاسیم موجود در نمونه بود. هر آزمایش حداقل ۳ بار برای هر نمونه تکرار شد.

پتانسیل ثابت پتاسیم به وسیله رس‌های خاک در حالت‌های تر و خشک

برای این کار در ابتدا ذرات رس مربوط به هر نمونه خاک از بخش‌های دیگر جدا شد. به این منظور در ابتدا کربنات‌ها، سپس مواد آلی و در نهایت اکسیدها آهن به روش جکسون حذف گردیدند (۱۷). سپس ذرات رس به کمک سیفون کردن از بخش‌های درشت تر جدا گردیدند (۱۲). سپس ظرفیت ثابت پتاسیم رس‌ها در دو حالت تر و خشک با روش باید و همکاران (۱۰) اندازه‌گیری شد.

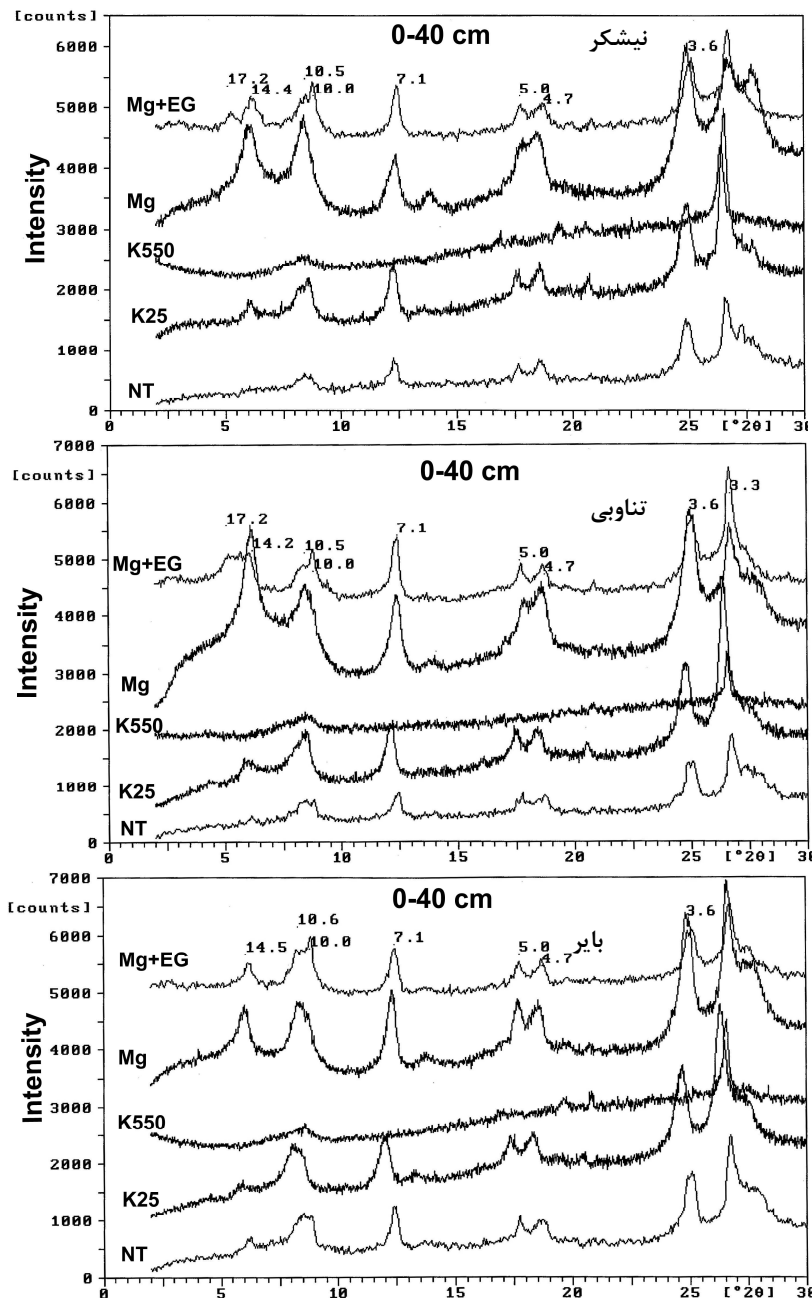
در حالت تر ابتدا ۵۰۰ میلی‌گرم از رس خالص شده، با کلسیم اشباع شد. سپس ۱۰ میلی‌لیتر از محلول‌های ۳۰ و ۶۰

جدول ۱. میانگین برخی از ویژگی‌های فیزیکوشیمیابی خاک‌های تحت سیستم‌های مختلف کشت

نمونه خاک	عمق cm	pH ۱ : ۲/۵	شوری dS/m	ماده آلی	کربنات کلسیم	شن	سیلت	رس	کاتیونی خاک	کاتیونی رس‌ها	ظرفیت تبادل ظرفیت تبادل
											cmol kg ⁻¹
کشت نشده	۰ - ۴۰	۴۰ - ۸۰	>۸۰	۰/۸	۸/۱	۷/۹	۷/۹	۵/۹	۴/۷	۴۲۵	کربنات کلسیم
											رس
											سیلت
											ظرفیت تبادل
											کاتیونی رس‌ها
											کاتیونی خاک
											ظرفیت تبادل
											cmol kg ⁻¹
											g kg ⁻¹
۲۵/۳	۱۳/۶	۵۳۷	۲۲۰	۲۴۳	۴۲۵	۴/۷	۵/۹	۷/۸	۰ - ۴۰		
۲۴/۱	۱۳/۱	۵۴۰	۲۲۶	۲۳۴	۴۵۲	۴/۱	۱۱/۹	۸/۱	۴۰ - ۸۰	کشت نشده	
۲۳/۲	۱۲/۶	۵۵۷	۱۹۹	۲۴۴	۴۳۷	۳/۸	۵/۹	۷/۹	>۸۰		
۳۸/۴	۲۰/۹	۶۱۰	۲۶۸	۱۲۲	۳۹۸	۲۱/۲	۰/۸	۸/۱	۰ - ۴۰		
۲۷/۲	۱۶/۲	۶۲۹	۲۴۷	۱۲۴	۳۸۹	۱۲/۵	۰/۷	۸/۲	۴۰ - ۸۰	کشت نیشکر	
۲۲/۴	۱۲/۸	۵۸۳	۲۶۴	۱۵۳	۳۹۹	۸/۳	۰/۶	۷/۹	>۸۰		
۳۲/۱	۲۱/۵	۶۵۸	۲۴۴	۹۸	۳۶۲	۲۰/۹	۱/۵	۸/۱	۰ - ۴۰		
۲۵/۲	۱۷/۲	۶۸۱	۲۲۴	۹۵	۳۸۱	۱۱/۳	۰/۹	۷/۹	۴۰ - ۸۰	کشت تناوبی	
۲۳/۷	۱۴/۶	۶۴۷	۲۶۹	۸۴	۳۹۲	۷/۴	۰/۷	۸/۱	>۸۰		

و رحمت ا... (۲۴)، موبرگ و دیسینگ نلسون (۷۹) برای گیاهان زراعی مختلف، موریتسوکا و همکاران (۲۶) برای ذرت و توسط‌هارتمینک (۱۶) برای نیشکر نیز گزارش شده است. همچنین ممکن است برخی از این کانی‌های قابل انبساط از تحول رس‌های رشته‌ای خاک (پالی گورسکایت) حاصل شده باشد (۳۲). این رس‌های رشته‌ای در اراضی کشاورزی در اثر آبیاری به کانی‌های قابل انبساط تبدیل می‌شوند (۳۰ و ۳۷). علاوه بر لایه سطحی، وجود پیک کانی‌های قابل انبساط (پیک ۱۷/۰ آنگسترومی در تیمار اشباع با اتیلن گلیکول) در لایه عمقی تر (۴۰-۸۰ سانتی‌متری) اراضی تحت کشت نیشکر می‌تواند به عمق زیاد ریشه‌های این گیاه مربوط شود. از سوی دیگر در زراعت نیشکر استفاده از شخم عمیق (تا حدود ۸۰ سانتی‌متری) متداول می‌باشد. این نوع شخم می‌تواند سبب مخلوط شدن خاک لایه سطحی و عمقی شود. این در حالی است که در سیستم تناوبی، گیاهان کشت شده از یک سو دارای ریشه کم عمق بوده و از سوی دیگر عمق شخم در این اراضی عموماً از ۲۰ سانتی‌متر تجاوز نمی‌کند.

بر اساس نتایج XRD، کانی‌های رسی کلریت، ایلیت، پالی گورسکایت، کائولینیت، کوارتر در نمونه‌های لایه سطحی اراضی بایر مشاهده شد (شکل ۱). شدت نسبتاً قوی پیک کانی رسی ایلیت نشانده‌نده مقدار نسبی زیاد این کانی در این اراضی بود. پیک‌های XRD در اراضی تحت کشت تناوبی در لایه‌های سطحی علاوه بر کانی‌های موجود در اراضی بایر، وجود کانی‌های قابل انبساط را به میزان کم نشان داد. این کانی‌ها با وجود پیک ۱۷ آنگسترومی در تیمار اشباع با اتیلن گلیکول قابل شناسایی بود (شکل ۱). در لایه سطحی از شدت پیک ایلیت به میزان خیلی کمی نسبت به اراضی بایر کاسته شده است. شدت پیک مربوط به کانی‌های قابل انبساط در لایه سطحی اراضی تحت کشت نیشکر نسبت به اراضی زیر کشت تناوبی بیشتر بوده و از شدت پیک کانی ایلیت به میزان بیشتری کاسته شده بود. تشکیل کانی‌های قابل انبساط در اراضی تحت کشت به ویژه در لایه سطحی اراضی تحت کشت نیشکر می‌تواند تا حدود زیادی به تخلیه پتابیم توسط گیاه از خاک مربوط باشد. چنین نتایجی توسط قریشی (۱۴)، رحمت ا... و همکاران (۳۳)، منگل



شکل ۱. الگوهای XRD نمونه‌های رس لایه ۰-۴۰ سانتی‌متری اراضی تحت کشت نیشکر، تناوبی و بایر*

*: تیمار اشباع مینیزیم و اتیلن گلیکول، Mg اشباع با مینیزیم، K550 اشباع پاتاسیمی و حرارت در 55°C ، K25 اشباع پاتاسیمی و NT بدون تیمار.

شده است. پاتاسیم قابل جذب اولیه خاک هفت تپه در اراضی با کشت‌های مختلف اختلاف معنی‌داری در سطح ۱٪ داشته‌اند. میانگین پاتاسیم قابل جذب اولیه در اراضی بایر، تحت کشت تناوبی و کشت نیشکر به ترتیب ۱۷۲، ۲۲۶ و ۱۳۲ میلی‌گرم در کیلوگرم می‌باشد. تأثیر سیستم کاشت بر مقدار پاتاسیم قابل جذب

آزادسازی و ثبیت پاتاسیم توسط خاک‌های هفت تپه میانگین پاتاسیم قابل جذب اولیه و تغییرات آن پس از ۴۰ بار تر و خشک کردن خاک و هم‌چنین ثبیت پاتاسیم پس از دوره‌های تر و خشک کردن نمونه‌های خاک هفت تپه در جدول ۲ آورده شده است. تحلیل آماری نتایج حاصل نیز در جدول ۳ آورده

جدول ۲. میانگین ظرفیت ثبیت پتابیم خاک‌های تحت کشت‌های تناولی و نیشکر و بایر هفت په طی دوره‌های ده مرتبه‌ای تر و خشک کردن خاک در مجاورت پتابیم

ردیف	نمونه‌داری پتابیم	جذب اولیه خاک (mg kg⁻¹)	عمق نمونه cm	جهل پتابیم قابل جذب خاک با ۴۰ بار تر نمونه‌داری	پتابیم قابل جذب خاک (۱ بار تر و خشک کردن خاک) (۱ بار تر و خشک کردن خاک) (mg kg⁻¹)	پتابیم قابل جذب خاک با ۱۰ بار تر و خشک کردن خاک (۱ بار تر و خشک کردن خاک) (mg kg⁻¹)	پتابیم قابل جذب خاک با ۲۰ بار تر و خشک کردن خاک (۱ بار تر و خشک کردن خاک) (mg kg⁻¹)	پتابیم قابل جذب خاک با ۳۰ بار تر و خشک کردن خاک (۱ بار تر و خشک کردن خاک) (mg kg⁻¹)	پتابیم قابل جذب خاک با ۵۰ بار تر و خشک کردن خاک (۱ بار تر و خشک کردن خاک) (mg kg⁻¹)		
					پتابیم قابل جذب خاک با ۱۰ بار تر و خشک کردن خاک (۱ بار تر و خشک کردن خاک) (mg kg⁻¹)	پتابیم قابل جذب خاک با ۲۰ بار تر و خشک کردن خاک (۱ بار تر و خشک کردن خاک) (mg kg⁻¹)	پتابیم قابل جذب خاک با ۳۰ بار تر و خشک کردن خاک (۱ بار تر و خشک کردن خاک) (mg kg⁻¹)	پتابیم قابل جذب خاک با ۵۰ بار تر و خشک کردن خاک (۱ بار تر و خشک کردن خاک) (mg kg⁻¹)	پتابیم قابل جذب خاک با ۱۰ بار تر و خشک کردن خاک (۱ بار تر و خشک کردن خاک) (mg kg⁻¹)		
۱۲۷	۶۳۷	۲۲۷	۱۵۱	۷۸۴	۲۲۱	۲۷۸	۹۴۰	۲۱۸	۲۲۶	۱۷۲	۰-۴۰
۱۲۵	۶۱۵	۱۸۹	۱۱۷	۷۴۰	۱۸۶	۲۶۵	۹۱۷	۱۸۳	۱۹۲	۱۶۰	۴۰-۸۰
۱۰۲	۹۸۹	۱۸۶	۱۴۶	۷۹۱	۱۷۸	۲۳۵	۹۳۷	۱۷۲	۱۸۵	۱۶۴	>۸۰
۱۵۰	۲۷۰	۱۴۲	۲۲۰	۲۰۰	۱۴۰	۴۹۹	۶۳۹	۱۳۸	۱۴۲	۱۳۳	۰-۴۰
۱۶۱	۵۱۳	۱۴۵	۱۸۲	۹۷۳	۱۷۰	۲۸۵	۸۵۵	۱۶۹	۱۷۶	۱۶۴	۴۰-۸۰
۱۵۵	۵۴۶	۱۵۲	۲۰۴	۷۰۱	۱۷۳	۲۳۶	۹۰۵	۱۶۷	۱۷۹	۱۲۵	>۸۰
۱۷۹	۴۳۸	۲۳۰	۲۴۵	۹۱۸	۲۲۷	۳۵۹	۸۶۲	۲۲۱	۲۳۷	۲۲۶	۰-۴۰
۱۶۲	۵۳۵	۲۲۸	۲۱۶	۹۹۶	۲۲۲	۳۰۷	۹۱۳	۲۱۹	۲۲۷	۱۹۹	۴۰-۸۰
۲۰۵	۵۱۱	۲۲۱	۱۹۰	۷۱۱	۲۲۵	۳۱۸	۹۰۲	۲۱۳	۲۲۹	۱۹۹	>۸۰

*: منظور از شاهد، پتابیم خاک پس از سری‌های ۱۰ بار تر و خشک کردن خاک بدون افزودن پتابیم است.

جدول ۳۲ تحلیل آماری مربوط به تنبیت انسانی در سطح شاک در ارتباط با نوع کشت و عمق نموده پذیرادی و اثرات متفاوت آنها در اراضی هفت تپه

علائم *^۱ و NS : به ترتیب معنی دار در سطح ۱٪، معنی دار در سطح ۵٪ و معنی دار نیست.

کردن خاک هفت تپه از لحاظ نوع کشت در سطح ۱٪ و عمق خاک نیز در سطح ۱٪ معنی دار بود. اثر متقابل این دو نیز در سطح ۱٪ معنی دار بود. در اراضی هفت تپه بیشترین مقدار پتابسیم ثبیت شده مربوط به خاک‌های تحت کشت نیشکر در لایه سطحی بود. اختلاف قابل ملاحظه سطح و عمق خاک از لحاظ ثبیت پتابسیم نیز به جذب بیشتر پتابسیم از لایه سطحی در مقایسه با لایه‌های عمقی مربوط می‌شود (جدول ۳).

این نتیجه نشان می‌دهد که بیشترین میزان پتابسیم از این نمونه از خاک خارج شده و در نتیجه سیستم‌های مختلف کشت، پتانسیل‌های مختلفی برای ثبیت پتابسیم در رس‌های خاک ایجاد می‌نماید. این اختلافات تا حدودی از این نکته ناشی گرفته که عموماً پتابسیم مورد نیاز گیاه از بخش ذخیره رس‌های خاک تأمین شده است. تر (آبیاری) و خشک شدن خاک (دمای زیاد خاک) به دفعات زیاد در شرایط هفت تپه از یک سو و از جذب پتابسیم به میزان زیاد توسط نیشکر از سوی دیگر سبب شده که آزاد سازی پتابسیم از خاک در اثر این فرایندها تشدید شود. با توجه به نیاز فراوان گیاه نیشکر به پتابسیم، جذب این یون از محلول خاک در طول دوره رشد گیاه رخ داده و به دنبال این فرایند، پتابسیم به طور مداوم از محل ذخیره آن از بین لایه‌های کانی، وارد محلول خاک شده است. تخلیه پتابسیم از خاک در اثر جذب گیاهی سبب شده که پتابسیم ثبیت شده از فضای بین لایه‌ای کانی‌های رس جایگزین شود (۲۴ و ۲۵). در اثر این عمل، پتانسیل رس‌ها برای جایگزینی پتابسیم اضافه شده در مکان‌های ثبیت بین لایه‌ای و در نتیجه تثبیت آن توسط خاک افزایش یافته است. نتایج مشابهی توسط قریشی (۱۴) برای خاک‌های سوئد و موبorg و دیسنگ نلسون (۲۷) برای خاک‌های دانمارک گزارش شده است.

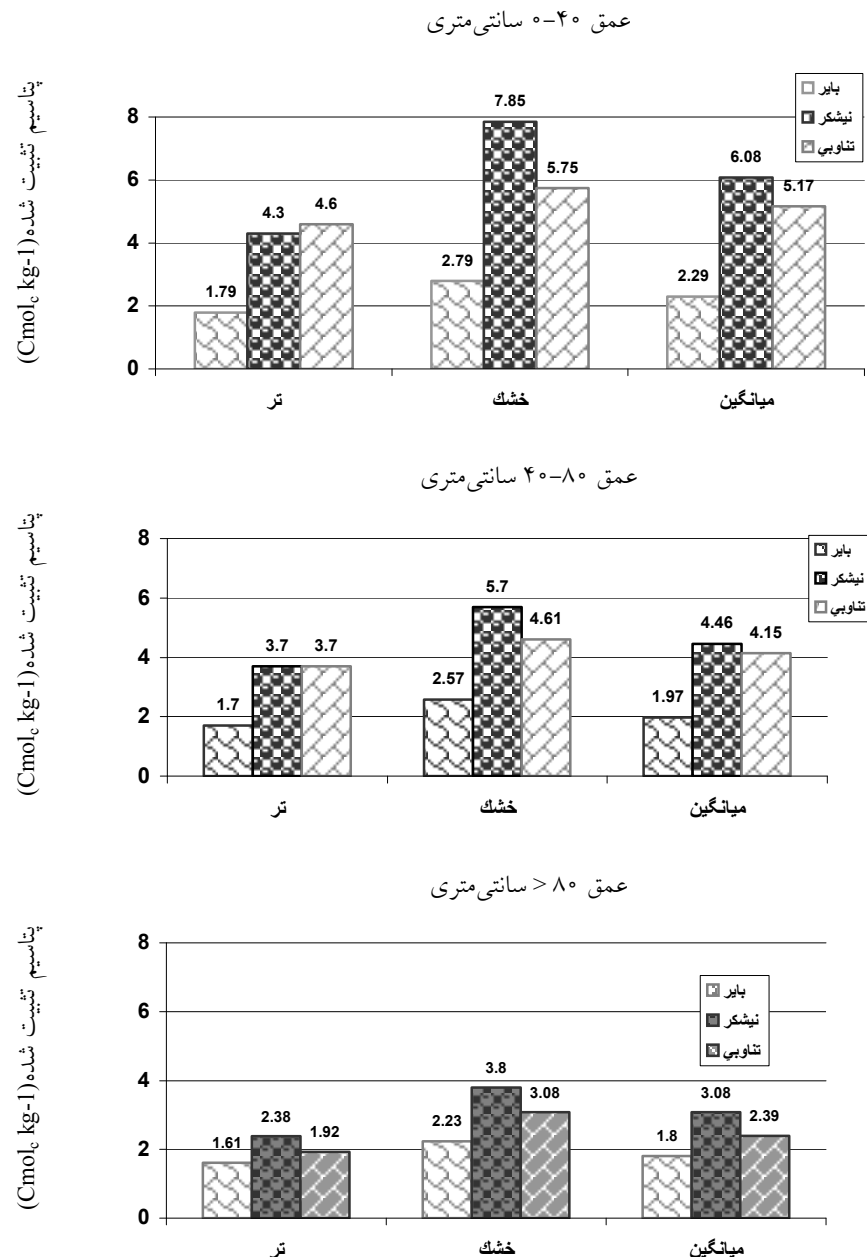
در لایه‌های عمقی تر خاک، ثبیت پتابسیم در خاک‌های تحت کشت تناوبی و نیشکر نسبتاً یکسان بود. بیشترین ثبیت پتابسیم مربوط به لایه سطحی خاک تحت کشت نیشکر بود. ثبیت پتابسیم در خاک‌های بایر نیز صورت گرفته است که با توجه به نوع کانی‌های شناسایی شده در این نمونه‌ها ممکن

اویله در خاک سطحی بیش از سایر اعماق مورد مطالعه بود. پس از ۴۰ بار تر و خشک شدن خاک مشخص شد که اختلاف معنی‌داری در سطح ۱٪ در پتابسیم قابل جذب گیاه بین اراضی با کشت‌های مختلف وجود دارد. بیشترین و کمترین پتابسیم قابل جذب گیاه به ترتیب مربوط به لایه سطحی خاک بایر و خاک زیر کشت نیشکر بود (جدول ۲). دلیل این امر ممکن است عدم تخلیه پتابسیم بین لایه‌ای در خاک‌های بایر باشد. این نکته، پتانسیل بالای رها سازی پتابسیم را با پدیده تر و خشک شدن در خاک‌های بایر خوزستان نشان می‌دهد. در خاک تحت کشت تناوبی، افزایش پتابسیم قابل جذب خاک با تر و خشک شدن متواالی (۴۰ بار) نسبت به خاک بایر افزایش کمتر و نسبت به خاک با کشت نیشکر افزایش بیشتری را نشان می‌دهد (جدول ۲ و ۳).

در مجموع تغییرات نسبتاً کمی در پتابسیم قابل جذب خاک در اثر تر و خشک کردن متواالی خاک رخ داد. این امر ممکن است به عدم خروج پتابسیم آزاد شده از خاک و در نتیجه عدم تغییر شرایط تعادلی در جهت آزادسازی پتابسیم مربوط گردد. این به بدین معنی است که عدم تخلیه پتابسیم آزاد شده سبب جلوگیری از آزاد شدن پتابسیم به میزان بیشتر خواهد شد. از آنجایی که تعادل بین اشکال پتابسیم غیر تبادلی، تبادلی و محلول قابل برگشت است بنابراین خاک‌های حاوی میکاهای تخلیه شده از پتابسیم می‌توانند پتابسیم اضافه شده را در مکان‌های خالی شده بین لایه‌های خود ثبیت نماید. چنین نتایجی توسط پژوهشگران دیگر نیز گزارش شده است (۱۳ و ۲۲).

در لایه سطحی خاک‌های هفت تپه پتابسیم قابل جذب با ۴۰ بار تر و خشک کردن خاک بدون حضور پتابسیم برای اراضی بایر، کشت نیشکر و تناوبی به ترتیب ۹/۹، ۵/۴ و ۱۱/۰ میلی گرم در کیلوگرم نسبت به مقدار اویله آن افزایش نشان داد. این میزان افزایش در لایه‌های عمقی تر برای هر خاک نسبتاً کمتر بود (جدول ۲).

نتایج تحلیل آماری مقدار ثبیت پتابسیم در حضور پتابسیم با غلظت یک گرم در کیلوگرم خاک همراه با ده بار تر و خشک



شکل ۲ . میانگین پتابیم ثبیت شده توسط نمونه های رس خاک های با سیستم های مختلف کشت در اعمق مختلف (برای سه غلظت ۳۰، ۶۰ و ۹۰ میلی مول پتابیم)

نمونه های مختلف خاک هفت تپه در دو حالت تر و خشک بهمراه میانگین های مربوطه در شکل ۲ آورده شده است. تحلیل آماری مربوط به ثبیت پتابیم توسط رس های خاک هفت تپه نیز در جدول ۴ آورده شده است. ثبیت پتابیم توسط رس های خاک هفت تپه در سه غلظت مورد مطالعه در حالت تر و

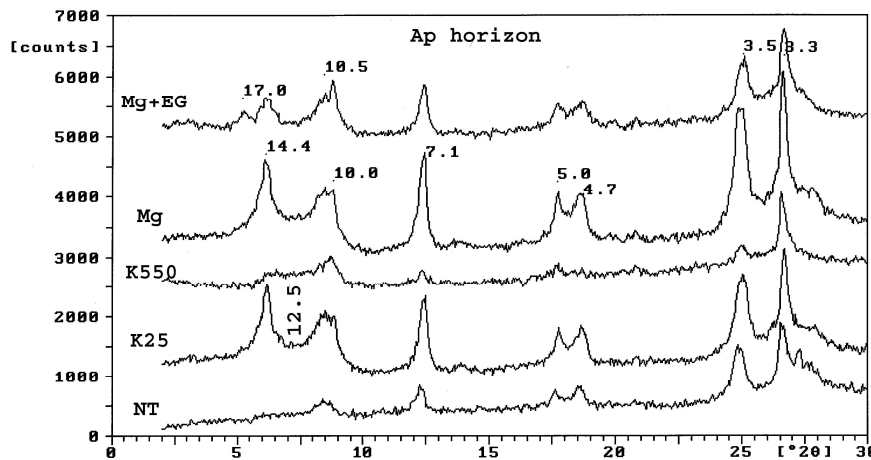
است به وجود کانی های اولیه ایلیتی و فلدسپاتی موجود در این خاک مربوط شود(۳۵).

ثبتیت پتابیم توسط رس های جداسازی شده هفت تپه تثبیت پتابیم توسط رس های جداسازی شده هفت تپه نتایج حاصل از ثبیت پتابیم توسط رس های جداسازی شده از

جدول ۴ . تحلیل آماری مربوط به تثبیت پتانسیم توسط رس‌ها در ارتباط با نوع کشت و عمق نمونه برداری و اثرات مختلف آنها در اراضی هفت پله

		میانگین مرعات						میانگین مرعات						میانگین مرعات					
		میانگین تثبیت پتانسیم در حالت تر و خشک			میانگین تثبیت پتانسیم در حالت خشک			میانگین تثبیت پتانسیم در حالت تر			میانگین تثبیت پتانسیم در حالت خشک			درجه آزادی		منبع تغییر			
	میانگین تثبیت پتانسیم	mmol K ⁺	mmol K ⁺	mmol K ⁺	mmol K ⁺	mmol K ⁺	mmol K ⁺	mmol K ⁺	mmol K ⁺	mmol K ⁺	mmol K ⁺	mmol K ⁺	mmol K ⁺	mmol K ⁺	mmol K ⁺	نگار			
۱۴۲۳**	۰/۰۰۴۹ NS	۰/۰۰۰۸ NS	۰/۰۱۴ NS	۰/۰۱۱ NS	۰/۰۰۰۱ NS	۰/۰۰۰۱ NS	۰/۰۰۰۱ NS	۰/۰۰۰۱ NS	۰/۰۰۰۱ NS	۰/۰۰۰۱ NS	۰/۰۰۰۱ NS	۰/۰۰۰۱ NS	۰/۰۰۰۱ NS	۰/۰۰۰۱ NS	۰/۰۰۰۱ NS	نگار			
۱۷۷۱**	۱۷/۱**	۱۲/۲**	۱۳/۱**	۱۲/۷/۹**	۲۲/۷/۹**	۲۵/۸**	۲۵/۳**	۲۱/۱**	۱۶/۰۹**	۱۲/۴**	۱۲/۴**	۱۲/۴**	۱۲/۴**	۱۲/۴**	۱۲/۴**	نوع کشت			
۰/۰۰۸۷	۰/۰۰۹۱	۰/۰۰۰۴	۰/۰۰۰۴	۰/۰۱۷	۰/۰۳۷	۰/۰۰۳	۰/۰۰۳	۰/۰۰۲	۰/۰۰۰۴	۰/۰۰۰۴	۰/۰۰۰۴	۰/۰۰۰۴	۰/۰۰۰۴	۰/۰۰۰۴	۰/۰۰۰۴	خطای نوع کشت			
۹/۱۱**	۹/۴۶**	۱۰/۸**	۱۰/۸**	۱۰/۳**	۱۳/۷**	۱۲/۹**	۱۲/۹**	۱۵/۷**	۱۱/۷**	۱۵/۷**	۱۵/۷**	۱۵/۷**	۱۵/۷**	۱۵/۷**	۱۵/۷**	عمق نمونه			
۱/۵۸**	۱/۸۷**	۱/۸**	۱/۸**	۱/۳**	۲/۳**	۲/۸**	۲/۸**	۲/۲**	۲/۲**	۱/۳**	۱/۳**	۱/۳**	۱/۳**	۱/۳**	۱/۳**	کشت × عمق			
۰/۰۰۴۰	۰/۰۵۹۰	۰/۰۰۰۵	۰/۰۰۰۵	۰/۰۰۰۵	۰/۰۰۰۵	۰/۰۰۰۵	۰/۰۰۰۵	۰/۰۰۰۵	۰/۰۰۰۵	۰/۰۰۰۵	۰/۰۰۰۵	۰/۰۰۰۵	۰/۰۰۰۵	۰/۰۰۰۵	۰/۰۰۰۵	خطا			
۳/۴	۰/۹	۳/۵	۴/۶	۳/۸	۷/۴	۷/۷	۷/۷	۷/۷	۴/۹۹	۴/۹۹	۴/۹۹	۴/۹۹	۴/۹۹	۴/۹۹	۴/۹۹	-- C.V			

* و ** : به ترتیب معنی دار در سطح ۱٪، معنی دار در سطح ۰.۵٪ و معنی دار نیست.



شکل ۳. تشکیل کانی‌های شبه ایلیتی در اثر ورود پتاسیم به درون لایه‌های تخلیه شده از پتاسیم در رس‌های ایلیت

گاهًا بیشتر از ۶۰ سانتی‌متر می‌باشد، روی تخلیه پتاسیم خاک و در نتیجه پتاسیل خاک برای ثبت پتاسیم اثر می‌گذارند. بنابراین این اختلاف در اعمق عموماً به نفوذ ریشه گیاه و اثراتی که این فاکتور روی جذب پتاسیم دارد مربوط می‌شود. اثرات متقابل بین عمق نمونه و نوع کشت نیز اختلاف معنی‌داری را در سطح ۱٪ نشان می‌دهد. مقایسه پیک‌های XRD برای نمونه‌های رس جدا شده از خاک لایه سطحی اراضی بایر، تحت کشت تناوبی و نیشکر پس از افزایش پتاسیم و ۳۰ بار تر و خشک شدن در مقایسه با تیمارهای پتاسیمی رس خاک‌های بایر تغییرات اندکی را نشان داد. در حالی که در نمونه رس‌های مربوط به اراضی تحت کشت نیشکر به ویژه برای لایه سطحی که قابلیت ثبت پتاسیم زیادی را نشان دادند، تشکیل کانی‌های شبه میکاپی (پیک ۱/۲۵ نانومتری) تاکیدی بود بر جایگزینی پتاسیم مکان‌های تخلیه شده بین لایه‌ای در این رس‌ها، که در اثر کشت و کار رخ داده بود (شکل ۳). روند مشابهی توسط آرفین و تن (۹) گزارش شده است.

بررسی ثبت پتاسیم توسط رس‌ها نشان داد که رس‌های خاک‌های تحت کشت نیشکر نیز به خصوص برای لایه ۴۰-۵۰ و تا حدود کمتری ۴۰-۸۰ سانتی‌متری قابلیت ثبت زیادی برای پتاسیم اضافه شده، دارند. این ثبت برای خاک‌های تحت کشت تناوبی به مراتب کمتر از اراضی تحت کشت نیشکر بود. کمترین مقدار ثبت پتاسیم در رس‌های اراضی بایر مشاهده

خشک در سطح ۱٪ درصد اختلاف معنی‌دار نشان داد. بیشترین میزان ثبت برای غلظت ۹۰ میلی مول و در حالت خشک بود. در غلظت ۹۰ میلی مول پتاسیم اضافه شده، میزان پتاسیم ثبت شده، در لایه سطحی خاک بایر، کشت نیشکر و کشت تناوبی هفت تپه به ترتیب ۳/۵۹، ۷/۵۶ و ۵/۹۸ سانتی مول در کیلوگرم بود. بیشترین میزان ثبت پتاسیم برای رس‌ها مشابه با آنچه که برای نمونه‌های خاک ملاحظه شد در لایه ۴۰-۵۰ سانتی‌متری رس‌های جداسازی شده خاک تحت کشت نیشکر بود. با افزایش غلظت پتاسیم، میزان ثبت توسط رس‌ها نیز افزایش یافت. میزان ثبت پتاسیم توسط رس‌های خاک در حالت خشک نسبت به حالت ترا فزايش چشمگيري نشان داد.

برای نوع کشت هم در حالت خشک و هم در حالت تر در سه غلظت مورد مطالعه، مقدار پتاسیم ثبت شده اختلاف معنی‌داری در سطح ۱٪ نشان داد (شکل ۲). این نکته نشان می‌دهد که کشت‌های مختلف سبب شده است که پتاسیل ثبت پتاسیم در این رس‌ها به مقدار زیادی تغییر کند. روند مشابهی نیز برای اعمق مورد مطالعه ملاحظه شد. اختلاف بین اعمق خاک برای اراضی تحت کشت‌های مختلف نیز اختلاف معنی‌داری در حدود ۱٪ را نشان داد (شکل ۲). این اختلاف در ثبت پتاسیم توسط رس‌ها در اعمق مختلف نیز مشابه با روندی که برای نمونه‌های خاک ملاحظه شد، بود. این امر به دلیل اثرات ریشه گیاه و عمق نفوذ آن می‌باشد. ریشه‌های نیشکر عموماً تا گستره نفوذ خود که

شده در اراضی تحت کشت نیشکر مربوط می‌باشد. با افزایش میزان رس‌های قابل انبساط تشکیل شده در خاک و در نتیجه افزایش CEC این رس‌ها (جدول ۱)، میزان ثبیت پتاسیم نیز افزایش یافته است. حسین پور و کلباسی^(۴) نیز برای خاک‌های مناطق مرکزی ایران چنین نتایجی را گزارش نمودند.

نتیجه‌گیری

علی‌رغم تخلیه پتاسیم توسط نیشکر و سابقه طولانی کشت و عدم افزایش کود پتاسیمی به این اراضی طی این مدت، با ۳۰ بار تر و خشک کردن خاک در مجاورت پتاسیم، مقدار پتاسیم قابل جذب خاک حتی در لایه سطحی این اراضی در سطح نسبتاً بالایی (۲۶۶ میلی‌گرم در کیلوگرم) باقی‌ماند. این نتیجه نشان داد که اگر به این خاک کود پتاسه داده شود اگرچه بخش عمدتی از این پتاسیم توسط خاک ثبیت می‌شود با این وجود بخشی از آن نیز به شکل قابل جذب برای گیاه باقی‌مانده و می‌تواند مورد استفاده گیاه قرار گیرد. پس این فرضیه که عدم پاسخ گیاه نیشکر به کودهای پتاسیمی تنها به ثبیت کل پتاسیم اضافه شده توسط خاک نسبت داده می‌شود، درست نیست بلکه این امر ممکن است به تامین مقدار کافی پتاسیم از منبع ذخیره آن در خاک در اثر فرایندهای تر و خشک شدن، تخریب کانی‌ها، افزایش از طریق آب آبیاری و رسوبات بادی مربوط باشد. نتایج این آزمایش با قرار دادن پتاسیم در مجاورت کلیه سطوح خاک و به هم زدن نمونه‌ها در آزمایشگاه حاصل شده است، و این در حالی که در شرایط مزرعه‌ای، پتاسیم به صورت نواری به خاک افزوده شده و با کاهش سطح تماس، قطعاً میزان کمتری از آن نیز ثبیت می‌شود. تغییر کانی‌های رس غالب در خاک‌های کشت شده ناشی از تحول رس‌های ایلیت در اثر تخلیه توسط گیاه محرز گردید. قرار دادن این رس‌های تخلیه شده از پتاسیم در مجاورت پتاسیم سبب تشکیل رس‌های شبه میکائی در این نمونه‌ها گردید. میزان ثبیت پتاسیم در خاک‌ها با افزایش CEC خاک، افزایش یافت.

شد. برای همه نمونه‌ها ثبیت پتاسیم در حالت خشک نسبت به حالت تر بیشتر بود. چنین نتایجی توسط بایید و همکاران (۱۰) و حسین‌پور و کلباسی^(۴) نیز گزارش شد. میزان ثبیت پتاسیم در خاک‌ها علاوه بر نوع کانی‌های رس و تراکم بار آنها، به مقدار رطوبت، غلظت یون‌پتاسیم و سایر یون‌های رقابت کننده و pH خاک نیز بستگی دارد^(۱۹). در این آزمایش نیز با افزایش غلظت پتاسیم اضافه شده به رس‌ها، ثبیت آن نیز به میزان بیشتری صورت گرفت (جدول ۴). چنین نتایجی توسط مون و مک‌لین (۲۸)، حسین‌پور و کلباسی^(۴) و بایید و همکاران (۱۰) نیز گزارش شده است. ثبیت پتاسیم توسط رس‌ها نسبت به خاک در کلیه تیمارها به مراتب بیشتر بود. اگرچه بخشی از این افزایش ثبیت مربوط به افزایش غلظت رس‌ها (به دلیل حذف سایر بخش‌های دیگر خاک مثل کربنات‌ها، مواد آلی و اکسیدهای آهن و آلومینیم) در نمونه رسی خالص می‌باشد ولی با احتساب این نکته نیز، افزایش ثبیت در رس‌ها نسبت به خاک قابل ملاحظه است که می‌تواند به حذف برخی ترکیبات نظری سزکویی اکسیدها و ماده آلی و اثرهای آنها در ممانعت از ثبیت پتاسیم بین لایه‌های رس مربوط شود^(۱۳). بایید و همکاران (۱۰) نیز علت کاهش ثبیت پتاسیم توسط رس را به دلیل نبودن برخی از این ترکیبات گزارش نمودند. تر و خشک کردن خاک و رس‌ها در مجاورت پتاسیم پس از ۳۰ بار، نشان می‌دهد که ظرفیت ثبیت پتاسیم در خاک‌های تحت کشت نیشکر و تناوبی تا حدودی به مقدار پتاسیم ثبیت شده در اراضی با پر نزدیک می‌شود (شکل ۲). این امر ممکن است تا حدود زیادی به بسته شدن فضای بین لایه‌ای کانی در اثر ثبیت پتاسیم و عدم امکان دسترسی مکان‌های داخلی کانی برای ثبیت پتاسیم مربوط شود. مکانیسم این فرایند به طور کامل توسط سایر پژوهشگران ارائه شده است^(۱۳).

با وجودی که در پیکهای XRD اراضی تحت کشت تناوبی و نیشکر، وجود کانی‌های قابل انبساط به میزان متفاوتی تأیید شد ولی میزان ثبیت پتاسیم برای دو خاک تفاوت زیادی نشان داد که این امر به تخلیه بیشتر پتاسیم قبل جذب و ثبیت

منابع مورد استفاده

۱. افتخار، ع. ر. ۱۳۷۰. میزان آبشویی پتاسیم در خاک‌های با بافت مختلف. گزارش طرح پژوهشی دانشگاه شهید چمران اهواز.
۲. بهروان، ح. ۱۳۷۸. تأثیر استفاده از سطوح مختلف کود سولفات پتاسیم بر روی کمیت و کیفیت عملکرد محصول نیشکر. مجله نیشکر. کشت و صنعت کارون، خوزستان، ص ۳۱ تا ۳۶.
۳. بنی عباسی، ن. ۱۳۶۲. بررسی مسائل تولید نیشکر در خوزستان. سمینار سالیانه صنایع قند تهران، صفحه ۲۴ تا ۴۶.
۴. حسین پور، ع. و. م. کلباسی ۱۳۸۰. ثبت پتاسیم و ویژگی‌های بار الکتریکی رس خاک در شماری از خاک‌های مناطق مرکزی و شمال ایران. علوم و فنون کشاورزی و منابع طبیعی ۵(۳): ۷۹-۹۳.
۵. جعفری، س. ، م. باقرنژاد و م. چرم. ۱۳۸۴. ارزیابی تغییرات برخی از خصوصیات فیزیکوشیمیایی اراضی زراعی (تحت کشت نیشکر و تناوبی) و بکر منطقه هفت تپه، خوزستان. مجله علمی کشاورزی دانشگاه شهید چمران اهواز ۲۸(۱): ۱۶۵-۱۸۲.
۶. رادمهر، س. ۱۳۷۶. واکنش خاک و گیاه نیشکر به کاربرد کود سولفات پتاسیم در اراضی تحت کشت نیشکر هفت تپه. گزارش سالیانه اداره تحقیقات کشاورزی، کشت و صنعت هفت تپه، خوزستان، صفحه ۴ تا ۱۶.
۷. رفاهی، ح. ۱۳۵۹. مطالعه ثبت پتاسیم در برخی از خاک‌های آهکی و اسیدی ایران. مجله علوم کشاورزی ۱۱(۱): ۶۱-۷۵.
۸. نادیان، ح. و. م. صلحی. ۱۳۷۰. مقایسه ظرفیت ثبت پتاسیم در خاک‌های کشت شده و بکر و مطالعه میزان‌الوثریکی آن توسط پراش اشعه ایکس در استان خوزستان. گزارش طرح پژوهشی دانشگاه شهید چمران اهواز. مجتمع آموزشی و پژوهشی رامین و اهواز.
9. Arifin, H. F. and K. H. Tan. 1973. Potassium fixation and reconstitution of micaceous structures in soils. *Soil Sci.* 116: 31-35.
10. Bouabid, R., M. Badraoui and P. R. Bloom. 1991. Potassium fixation and charge characteristics of soil clays. *Soil Sci. Soc. of Am. J.* 55: 1493-1498.
11. Chapman, H. D. 1965. Cation exchange capacity. PP. 891-901. In: C.A. Black (Ed.), *Methods of Soil Analysis*. Part 2, American Society of Agronomy, Madison, WI.
12. Day, P. R. 1965. Particle fractionation and particle -size analysis. PP. 545-567. In: C.A. Black(Ed.), *Methods of Soil Analysis*. Part 2. American Society of Agronomy, Madison, WI.
13. Fanning, D. S., V. Z. Keramidas and M. A. El-Dessoky. 1995. Micas. PP. 551-634. In: Dixon, J.B. and S.B. Weed. (Eds.), *Minerals in Soil Environments*. Second edition, Soil Science Society of America, Madison, WI.
14. Ghorayshi, M. 1988. Potassium reactions in three Swedish soils under intensive cropping as related to clay mineralogy. Ph.D. Thesis, Swedish University of Agricultural Sciences, Uppsala, Sweden.
15. Grim, R. E. 1968. *Clay Mineralogy*. PP. 220-222. International Series in Earth and Planetary Sciences. McGraw-Hill, New York.
16. Hartemink, A. E. 1997. Soil fertility decline in some major soil groupings under permanent cropping in Tanga Region, Tanzania. *Geoderma* 15:215-229.
17. Jackson, M. L. 1975. *Soil chemical analysis-advanced course*. University of Wisconsin, College of Agriculture, Department Of Soils, Madison, WI.
18. Kittrick, J. A. and E. W. Hope. 1963. A procedure for the particle- size separation of soils for x-ray diffraction analysis. *Soil Sci.* 96:312-325.
19. Lee, B.D., S.K. Sears, R.C. Graham, C. Amrhein and H. Vali. 2003. Secondary Mineral Genesis from Chlorite and Serpentine in an Ultramafic Soil Toposequence. *Soil Sci. Soc. of Am. J.* 67: 1309-1317.
20. Malavolta, E. 1985. Potassium status of tropical and subtropical region soils. P. 284 In: *Potassium in Agriculture*. Madison, WI.
21. Malavolta, E. 1994. Nutrient and fertilizer management in sugarcane. International Potash Institute, Bulletin 14.
22. Martin, H. W. and D. L. Spark. 1996. On the behavior of nonexchangeable potassium in soils. In: J. M. Bartels. (Ed.), *Methods of Soil Analysis*. Part 3, Madison, WI.
23. Mehra, O. P. and M. L. Jackson. 1960. Iron oxide removal from soils and clays by a ditionite citrate system with sodium bicarbonate. *Clays and Clay Min.* 7: 317-327.
24. Mengel, K. and B. Rahmatullah. 1994. Exploitation of potassium by various crop species from primary minerals in

- soils rich in micas. *Biol. and Fertil. of Soils* 17:75-79.
25. Mengel, K. and E. A. Kirkby. 1980. Potassium in crop production. *Adv. in Agron.* 33:59-110.
26. Moritsuka, N., J. Yanai and T. Kosaki. 2002. Depletion of non-exchangable potassium in the maize rhizosphere and its possible releasing processes. *17th World Congress of Soil Science*. Bangkok, Thailand, Paper No 2233:1-10.
27. Møberg, J. P. and J. Dissing Nilson. 1983. Mineralogical changes in soils used for potassium-depletion experiments for some years in pots and in field. *Acta Agric. Scandinavica* 33: 21-27.
28. Munn, D. A. and E. O. McLean. 1975. Soil potassium relationships as indicated by solution equilibrations and plant uptake. *Soil Sci. Soc. Am. Proc.* 39:1072-1076.
29. Munson, R. D. and W. L. Nelson. 1963. Movements of potassium in soils. *J. Agric. and Food Chem.* 11: 193-201.
30. Neaman, A. and A. Singer. 2004. The effects of palygorskite on chemical and physico-chimical properties of soils: review. *Geoderma* 123(3-4):297-303.
31. Olk, D. C. and K. G. Cassman. 1995. Reduction of potassium by two humic acid fractions in vermiclitic soils. *Soil Sci. Soc. of Am. J.* 59:1250-1258.
32. Pletsch, T., L. Daoudi, H. Chamley, J. F. Deconinck and M. Charroud. 1996. Palaeogeographic controls on palygorskite occurrence in Mid-Cretaceous sediments of Morocco and adjacent basins. *Clay Miner.* 31: 403-416.
33. Rahmatullah, B., Z. Shaikh, M. A. Gill, and M. Salim. 1994. Bioavailable potassium in riverbed sediments and release of interlayer potassium in irrigated arid soils. *Soil Use and Manag.* 10: 43-46.
34. SAS Institute. 1993. *SAS User'S Guide : Statistics* SAS Institute, Cary, NC.
35. Scott, A. D. and S. J. Smith. 1966. Susceptibility of interlayer potassium in micas to exchange with sodium. *Clays and Clay Min.* 14: 69-81.
36. Soil survay staff. 1999. *Soil Taxonomy*. Second edition. No. 436. USDA.
37. Wilson, M. J. 1999. The origin and formation of clay minerals in soils: past, present and future perspectives. *Clay Min.* 34: 7-25.